



## شناسایی هاله‌های پراکندگی دومین و توزیع ژئوشیمیایی عناصر در خاک‌های پیرامون نشانه‌ی معدنی طلا-تنگستان تاریکدره، شمال خاوری ایران

جمال قوی<sup>۱\*</sup>، محمد حسن کریم‌پور<sup>۲</sup>، سید احمد مظاہری<sup>۱</sup>، مجید قادری<sup>۳</sup>، بهنام رحیمی<sup>۱</sup>

۱- گروه زمین‌شناسی دانشگاه فردوسی مشهد

۲- مرکز تحقیقات معدنی شرق ایران، دانشگاه فردوسی مشهد

۳- گروه زمین‌شناسی دانشگاه تربیت مدرس، تهران

(دریافت مقاله: ۹۰/۷/۲۷، نسخه نهایی: ۹۰/۱۲/۲)

چکیده: منطقه‌ی اکتشافی طلا-تنگستان تاریکدره، در شمال شرقی ایران و در مرز زون ساختاری ایران مرکزی و کپه‌داغ قرار دارد. توده‌ی گرانیتوئیدی تربت جام مهم‌ترین جلوه‌ی ماقماتیسم منطقه است که با روندی شمال باختری-جنوب خاوری در نهشته‌های شیلی زغال‌دار، سیلتستونی و ماسه سنگی سازند میانکوهی با سن تریاس، نفوذ و آن‌ها را در اطراف و تا فواصل چند ده متر به هورنفلس تبدیل کرده است. بررسی کانی‌های سنگین در منطقه منجر به شناسایی کانی‌های طلا، شنلیت، آرسنوبیریت، مالاکیت، باریت، جاروسیت، هماتیت، مگنتیت، اسپیکولاریت، گالن، پیریت، گارنت شد. برداشت‌های ژئوشیمیایی رسوب‌های رودخانه‌ای نیز بی‌هنجری-هایی از عناصر As, Bi, Cu, Fe, Ti, W, Co, Fe, Mn, Ti, (W) را نشان داده است. کاوش‌های بعدی روی نمونه‌برداری از خاک‌های برجای پیرامون توده‌های نفوذی متمرکز و با تعیین پارامترهای آماری توزیع عناصر و با برآش داده‌های لگاریتمی، و استفاده از نتایج آن‌ها، حدود آستانه‌ی بی‌هنجری و مقادیر کمی بی‌هنجری‌های ممکن و احتمالی تعیین شدند. در بخش آمار چند متغیره و تحلیل عاملی مجموعه همبسته‌ی عناصر As, Cu, Au, Co, Fe, Mn, Ti, Sb (رابطه‌ی معنی‌دار و آینه‌ی تمام نمایی از کانی‌سازی طلا در این منطقه دیده می‌شود. با بررسی‌های انجام شده و یافته‌های وابسته به کانی‌های سنگین، رسوب آبراهه‌ای و خاک، همگونی جالب توجه این محیط‌ها در نمایش ناهنجاری‌های عناصر Au و Ta حدودی Cu به دست آمد. مهم‌ترین نتایج در نقشه‌ی هاله‌های پراکندگی دومین عنصر طلا و ردیاب‌های آن، همچون As, Cu, Bi و نقشه‌ی تحلیل عاملی (F1) و معیار جمعی (Ad)، موید حضور و پتانسیل بالای منطقه‌ی تاریک دره از دیدگاه طلاست.

واژه‌های کلیدی: طلا، عناصر ردیاب، هاله‌های پراکندگی دومین، بی‌هنجری‌های ژئوشیمیایی خاک، تاریکدره، ایران.

### مقدمه

کپه‌داغ قرار دارد. نفوذ توده‌ی آذرین تربت جام به سن تریاس پسین در سنگ‌های رسوبی تریاس میانی-فوقانی، مهم‌ترین جلوه‌ی ماقماتیسم منطقه است. پیشینه بررسی‌های زمین‌شناسی-پی‌جویی در این ناحیه به سال ۱۳۴۵ و گزارشی مبنی بر شناسایی کانی‌های تنگستان و بی‌هنجری‌های طلا در

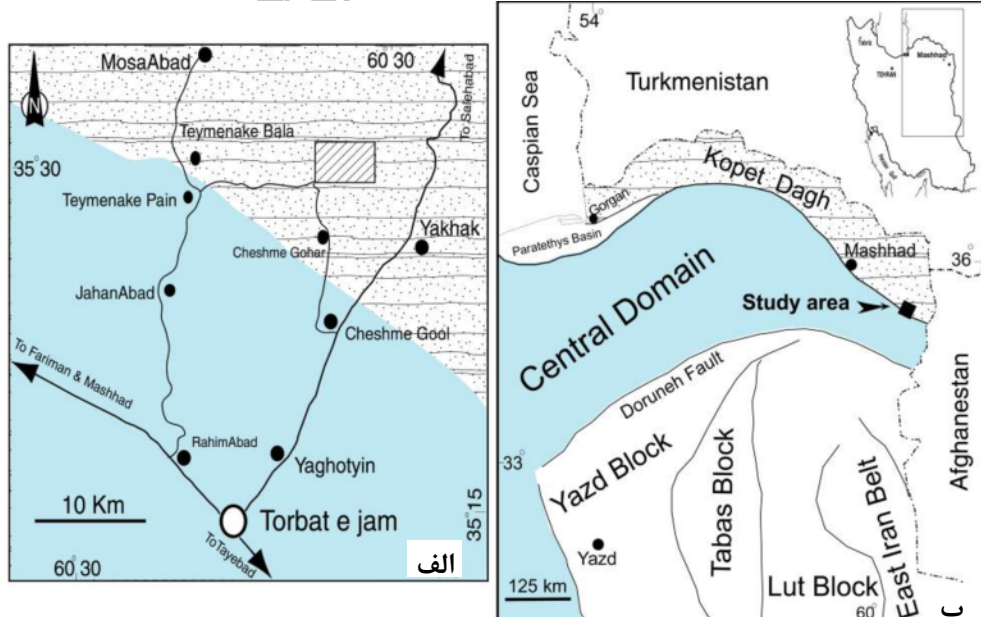
منطقه‌ی اکتشافی تاریکدره، در شمال خاوری ایران، استان خراسان رضوی و در ۴۵ کیلومتری شمال تربت جام قرار گرفته است (شکل ۱ الف). این منطقه از نگاه کانی‌زایی در راستای کمریند فلززایی بینالود و در مرز زون ساختاری ایران مرکزی و

\* نویسنده مسئول، تلفن: ۰۵۱۱۸۴۳۸۰۳۲، پست الکترونیکی: Jamal.Ghavi@stu-mail.um.ac.ir

### روش بررسی

این پژوهش مشتمل بر دو بخش بررسی صحرایی و آزمایشگاهی است. بررسی‌های صحرایی آن شامل شناسایی و جدایش واحدهای سنگ‌شناسی‌زمین شناسی با تاکید بر توده‌های آذرین بوده و مراحل نمونه برداری از رسوب‌های رودخانه‌ای، کانی‌های سنگین و برداشت‌های سیستماتیک از خاک انجام شده است. بررسی‌های آزمایشگاهی در برگیرنده‌ی آماده‌سازی، جدایش و شناسایی کانی‌های سنگین بوده که در داخل کشور صورت گرفته است و تجزیه‌های شیمیایی نمونه‌های رسوب رودخانه‌ای و خاک برای عنصر طلا و ۴۳ عنصر دیگر در آزمایشگاه Amdel کشور استرالیا انجام شده است. به منظور کنترل آزمایشگاه و خطای اندازه‌گیری‌ها، ۶ نمونه‌ی تکراری؛ ۲ نمونه‌ی کانی‌سنگین، ۲ نمونه‌ی رسوب ژئوشیمیایی و ۲ نمونه‌ی خاک) از نمونه‌های یاد شده، انتخاب، تجزیه و بررسی شده‌اند. با استفاده از برنامه‌های رایانه‌ای و نرم افزارهای آماری و تخصصی، نتایج آزمایشگاهی به دست آمده و یافته‌های صحرایی، پردازش شده و در قالب نقشه‌های جداگانه (با مقیاس ۱:۵۰۰۰) زمین‌شناسی و نقشه‌ی بی‌هنجاری عناصر مورد نظر نمایش داده و تفسیر شده‌اند.

ناحیه چشم‌گل [۱] بر می‌گردد. بهروزی و همکاران [۲] بررسی‌های زمین‌شناسی ناحیه‌ای منطقه را در قالب تهیه‌ی نقشه‌ی زمین‌شناسی ۱:۲۵۰۰۰۰ چهارگوش تربت جام به سرانجام رسانده‌اند. اکرمی [۳] ضمن بررسی‌های آن به کانی‌سازی توده‌ی نفوذی تربت جام و هاله‌ی دگرگونی آن به کانی‌سازی موجود در توده‌ی کوارتز دیوریتی منطقه تاریکدره اشاره‌ای کرده است. در سال ۱۳۷۹ بررسی‌های صحرایی و مقدماتی با نگاهی اکتشافی در منطقه تاریکدره صورت گرفته و نتایج حاصل توسط خاکزد و همکاران [۴] ارائه شده است. طی سال‌های ۱۳۸۱ تا ۱۳۸۵، سازمان زمین‌شناسی کشور، پی‌جویی ژئوشیمیایی سیستماتیک و نقشه‌ی زمین‌شناسی ۱:۱۰۰۰۰۰ ورقه‌ی تربت جام را سازماندهی و منتشر کرده است، که ضمن تهیه‌ی نقشه زمین‌شناسی یاد شده و آنالیزهای انجام گرفته، پتانسیل اقتصادی توده‌ی کوارتز دیوریتی تاریکدره از نظر ذخیره‌ی طلا نیز ارزیابی شده است [۵]. سازمان صنایع و معادن استان خراسان رضوی نیز در این منطقه، پی‌جویی‌های انجام داده است [۶]. بررسی‌های تکمیلی و تفصیلی از سال ۸۷ توسط مؤلفان در دست انجام است و این نوشتار اطلاعات تقریباً کاملی از بررسی‌های انجام شده در خصوص مسائل زمین‌شناسی و اکتشافی این منطقه را ارائه می‌کند.



شکل ۱ (الف) موقعیت جغرافیایی و راههای دسترسی به گستره‌ی مورد بررسی که با هاشور مشخص شده‌است، (ب) پهنه‌ی مورد بررسی در شمال-خاوری ایران و در مرز زون ساختاری ایران مرکزی و کپه‌داغ قرار دارد (بر اساس [۹]).

ها در حاشیه‌ی سنگ‌های نفوذی شده‌است. دگرگونی یاد شده در حد رخساره‌ی آلبیت-اپیدورت-هورنفلس بوده و رخنمون آن در بخش مرکزی گستره پی‌جوبی تاریک دره، قابل جدایش و مشاهده است (شکل ۲). رسوب‌های کواترنر متشکل از سطوح خاکی، تراس‌های قدیمی، رسوب‌های مخروط افکنه و آبراهه‌ها هستند که واحدهای قدیمی‌تر و دامنه‌ی ارتفاعات و فروافتادگی‌ها بین بلندی‌ها را پوشانیده‌اند. رسوب‌های بستر آبراهه‌ها شامل واریزه‌هایی زاویه دار تا گرد شده از سنگ‌های بالادرست بوده که ابعاد قطعات آن بسیار متنوع و به صورت منفصل و سخت نشده‌اند.

#### بررسی‌های اکتشافی

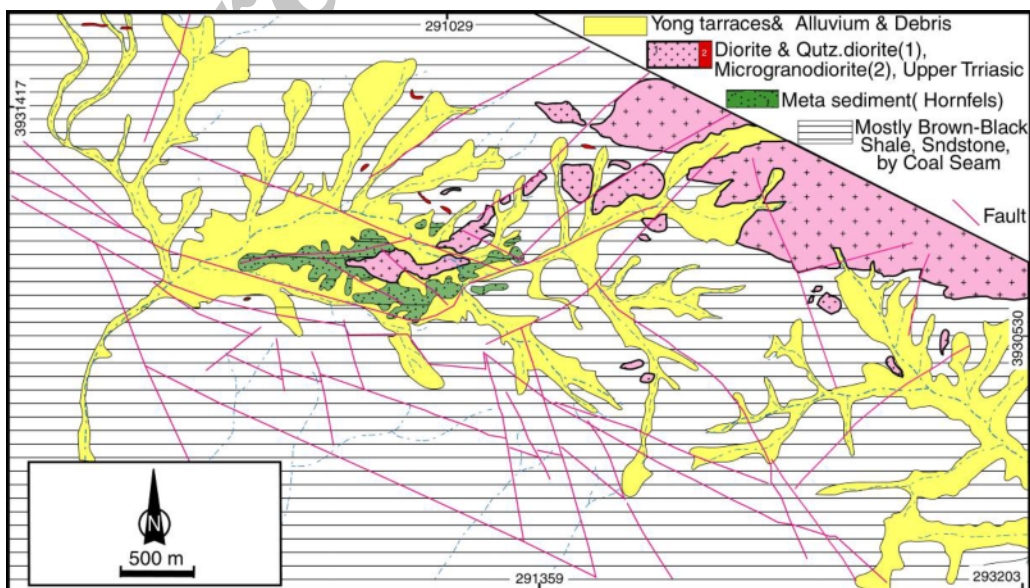
بررسی‌های اکتشافی در گستره‌ی مورد بررسی بر پایه پی-جویی‌های رودخانه‌ای، ژئوشیمی رسوب‌های آبراهه‌ای و تجزیه کمی عناصر در نمونه‌های برجای خاک، برنامه‌ریزی شده است. نمونه برداری از رسوب‌های رودخانه‌ای، به منظور شناسایی کانی‌های سنگین و ژئوشیمیایی رسوب‌ها، آغاز و به دنبال نتایج به دست آمده، برداشت ۲۴۶ نمونه خاک در قالب شبکه بندی منظم نیز طراحی و انجام شده است (شکل ۳). شناسایی و ثبت هاله‌های پراکنده‌ی دومین عناصر در خاک‌ها و کنترل آن‌ها از طریق بررسی‌های لیتوژئوشیمیایی، راهگشای اکتشاف‌های تکمیلی و در تعیین گستره و ردیابی ریشه‌ی توده‌ی معدنی مفید می‌باشد [۱۲، ۱۳].

#### زمین‌شناسی و موقعیت زمین ساختی منطقه

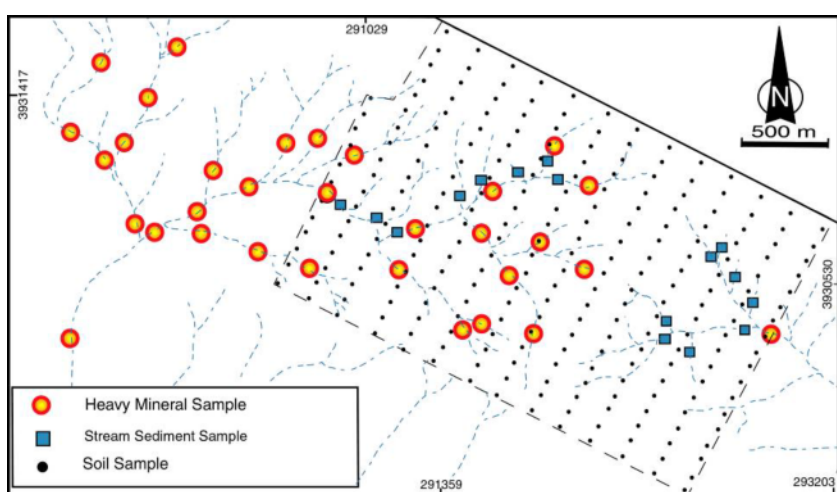
این منطقه در گوشه‌ی شمال‌خاوری ایران و در حد فاصل زون زمین‌ساختی ایران مرکزی و پهنه‌ی کوه‌های قرار دارد و ادامه‌ی شرقی کمربند کانی‌زایی رشته کوه‌های بینالود است (شکل ۱ ب). سرشتی‌های زمین‌شناسی این کمربند، بسوی خاور و در خارج از مرز ایران و هم‌رونده در راستای کوه‌های هندوکش-هیمالیا نیز قابل تعقیب است [۸].

کهن‌ترین و چشمگیرترین پیکره‌ی رسوبی منطقه‌ی مورد بررسی سازند شیلی - ماسه سنگی میانکوهی است (شکل ۲) که شامل شیل‌های تیره رنگ همراه با تنایی از سیلیستون و ماسه سنگ ریز دانه است. این سازند از دو بخش زیرین (در بردارنده‌ی لایه‌های زغال‌دار همراه با ماسه سنگ خاکستری و شیل‌های کبود) و بخش بالایی (تنها از شیل) تشکیل شده است که تحت تاثیر دگرگونی ناحیه‌ای ضعیفی نیز قرار گرفته است. روتner (۱۹۹۱) در ناحیه‌ی آق‌دریند (شمال منطقه‌ی مورد بررسی) سن این سازند را تریاس فوکانی (نورین تا رسین زیرین) تعیین کرده [۱۰] و با توجه به شناسایی سنگواره روزنه داران کفزی با پوسته‌ی آهکی، محیط رسوب‌گذاری غیر قاره-ای برای بخش بزرگ این سازند در نظر گرفته شده است [۱۱].

نفوذ چند توده و تعدادی دایک گرانیت‌وئیدی (اغلب با سن نسبی تریاس بالایی) و با طیف سنگ‌شناسی دیوریت، کوارتز دیوریت و میکروگرانیت در شیل‌ها و ماسه سنگ‌های سازند میانکوهی موجب دگرگونی مجاورتی و هورنفلسی شدن رسوب-



شکل ۲ نقشه‌ی زمین‌شناسی گستره‌ی اکتشافی تاریکدره.



شکل ۳ موقعیت و طرح نمونهبرداری کانی‌های سنگین، ژئوشیمی رسوهای رودخانه‌ای و خاک را نشان می‌دهد.

مغناطیسی زیاد (NM)، ضعیف (AA)، ضعیف (AV) و نامغناطیسی (NM) نیز تفکیک شدند. با توجه به مشخصات بلورشناسی و با میکروسکوپ دوچشمی کانی‌های موجود در هر بخش شناسایی و درصد حجمی (نسبت هر بخش به کل کانی‌های سنگین) آن‌ها تعیین شد. سپس مقادیر وزنی کانی‌های سنگین و کمی کردن، یافته‌های کیفی، انجام و در نتیجه مقدار گرم بر تن کانی‌های سنگین مورد نظر در رسوهای آبراهه‌ای منطقه مورد نظر محاسبه شده است [۱۴].

نتایج به دست آمده از بررسی نمونه‌های کانی‌های سنگین نشان می‌دهد که کانی‌های آمفیبول، آناتاز، آپاتیت، آرسنوبیریت، باریت، بروشانتیت، سروزیت، سرسیت، فلوریت، گاهنیت، گالن، گارنت، گوتیت، هماتیت، هورنبلند، جاروسیت، لوکوکسن، لیمونیت، مگنتیت، ملاکیت، فلوگوپیت، پیرومورفیت، پیریت، اکسید پیریت، پیروکسن، روتیل، شلیت، اسپیکولاریت، اسمیت زونیت، اسفن، استارولیت و زیرکان در رسوهای حوضه‌ی آبراهه‌ی گسترده مورد بررسی حضور دارند. کانه‌ی طلا در سه نمونه به صورت آزاد با قطر متوسط ۱۲۵-۶۲ میکرون و به شکل‌های فیبری و شاخه‌داری با گردش‌گی کم و به صورت نیمه‌زاویه دارنیز شناسایی شده‌اند. با استفاده از نتایج ۲ نمونه تکراری و پس از به دست آوردن پارامترهای آماری لازم، خطای اندازه گیری برای کانی‌های طلا، شلیت و جاروسیت در حد قابل قبول بوده ولی مقدار خطای اندازه گیری‌های کانی‌های هماتیت، مگنتیت، پیریت قابل توجه و غیر قابل چشم پوشی گزارش شده است [۴]. مکان تمرکز و نقشه‌های پراکندگی کانی‌های سنگین ارزشمند و مرتبط به کانی سازی،

برای طراحی شبکه‌ی نمونه‌برداری از رسوهای آبراهه‌ای، نخست گستره‌ی حوضه‌ی آبریز و طرح کلی آبراهه‌های اصلی منطقه از نقشه‌های توپوگرافی ۱:۵۰۰۰ موسی آباد و یاقوتین و عکس‌های هوایی ۱:۲۰۰۰ پیاده و ترسیم و در مراکز ثقل توپولوژیکی آبراهه، بهینه‌ترین نقاط برداشت نمونه‌ها تعیین شد و با در نظر داشتن بودجه و مقیاس عملیات، تعداد ۳۲ نمونه برای آگاهی از کانی‌های سنگین و ۱۶ نمونه ژئوشیمیایی رسوی (پس از بررسی‌های کانی‌سنگین) انتخاب و برداشت شدند (شکل ۳). با در اختیار داشتن نقشه‌ی شبکه‌ی نمونه‌برداری در مسیر آبراهه‌ها و عمود بر راستای آن و برای برداشت نمونه‌ای معرف از پیرامون نقطه‌ی مورد نظر (تا شعاع ۱۰ متر)، و با حفر تعدادی چاله با عمق تقریبی ۱۰ تا ۲۵ سانتی‌متر، کار برداشت صورت گرفت. وزن تقریبی هر نمونه کانی سنگین ۵ کیلوگرم رسب خشک حاصل از الک ۲۰ مش (ذرات با اندازه کمتر از ۸۴۰ میکرون) و نمونه ژئوشیمیایی ۵۰۰ گرم رسب خشک باقی مانده در زیر الک ۸۰ مش (ذرات با اندازه کمتر از ۱۷۷ میکرون) بوده است که پس از برداشت در کیسه‌ی پلاستکی مناسب بسته‌بندی و به آزمایشگاه منتقل شد.

#### شناسایی کانی‌های سنگین

آماده سازی، جدایش و شناسایی کانی‌های سنگین در شرکت آلومینیم ایران (آزمایشگاه کرج) صورت گرفته است. نخست نمونه‌ها گل‌شویی شده سپس با لاوک‌شویی، تغليظ کانی‌های سنگین صورت گرفت و در مرحله بروموفرم‌گیری کانی‌های سنگین با چگالی بیش از ۲۹۴ گرم بر سانتی متر مکعب از کانی‌های سبک جدا شدند، با استفاده از دو میدان مغناطیسی قوی و متوسط، کانی‌های سنگین به ۳ بخش کانی با خاصیت

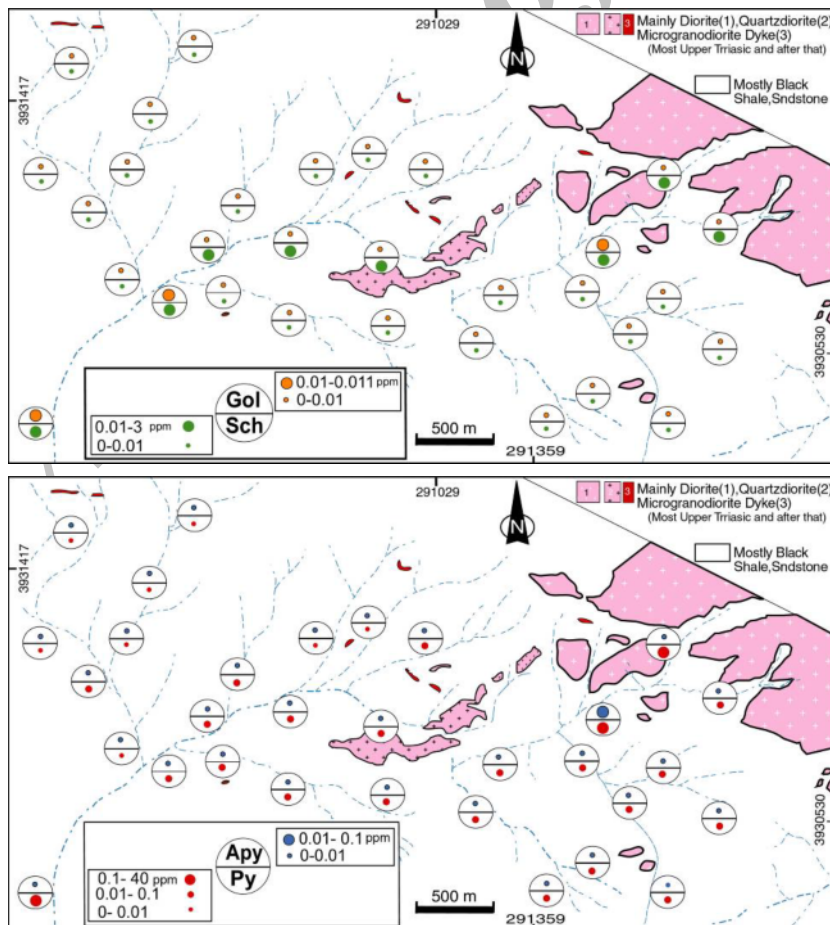
مقادیر بیشتر از  $0.5\%$  و معنی داری با عناصر Ti, Fe, Co, Bi, Cu, As, W نشان می‌دهد. بیشترین همبستگی طلا با عناصر آرسنیک، بیسموت و تنگستن به عنوان همیافت ذاتی طلا در خور توجه است. مس در نمونه‌های رسوب آبراهه‌ای همبستگی معتبری را با عناصر Sr, W, Au, Fe, Ti, Co, Bi نشان داده است. بالاترین همبستگی مس با بیسموت ( $0.907\%$ ) و همبستگی این عنصر با طلا قابل ملاحظه است. بیشترین همبستگی آرسنیک در نمونه‌های رسوب آبراهه‌ای، با طلا است ( $0.876\%$ ), همبستگی آرسنیک با عناصر Sr, Ti, Fe, Co, Bi, Cu حداقل مقدار همبستگی Pb با عنصر آنتیموان و بیشترین همبستگی منفی را عنصر سرب با استرانسیوم دارند. نیز Zn همبستگی‌های چشمگیری با کبالت و سرب دارد. تنگستن در نمونه‌های رسوب آبراهه‌ای همبستگی مثبت و معنی داری با عناصر Ti, Cu, Bi, Au, Fe تنگستن داده و بیشترین همبستگی تنگستن با آهن ( $0.696\%$ ) است. همبستگی W با Au در ردیابی و در حد  $0.65\%$  است.

از جمله طلا، شلیت و آرسنوبیریت، پیریت در دامنه غلظت‌های متفاوت در شکل ۴ نشان داده شد.

#### ژئوشیمی رسوب‌های رودخانه‌ای

پی‌جوبیهای ژئوشیمیایی در منطقه تاریک دره با عنایت به نتایج نمونه‌های کانی‌های سنگین و در محدوده‌های امید بخش و پیرامون توده‌های نفوذی و سنگ‌های میزان آنها و با برداشت ۱۶ نمونه رسوب رودخانه‌ای انجام شده است (شکل ۳). تجزیه‌های شیمیایی نمونه‌های رسوب رودخانه‌ای و با لحاظ نمودن ۲ نمونه‌ی تکراری، برای طلا به روش عیارسنجی آذری HF/Multi (Fire Assay) و برای ۴۳ عنصر دیگر انحلال در Amdel Acid (ICP-OES و ICP-MS) در آزمایشگاه استرالیا انجام شد.

نتایج ژئوشیمی رسوب‌های رودخانه‌ای (پس از جایگزینی داده‌های سنسورد و پردازش‌های زمین‌آماری) حاکی از وجود پتانسیل مناسب عنصر طلا و حضور عناصر Cu, Bi, Co, Zn, Sn, As, Sb, Co, Fe به ویژه در آبراهه‌های منتهی به توده‌های نفوذی است. بر این اساس طلا همبستگی مثبت (با



شکل ۴ نقشه‌ی پراکندگی کانی‌های سنگین، طلا-شلیت و آرسنوبیریت-پیریت در دامنه غلظت‌های متفاوت.

می‌دهند. بر این اساس کمترین خطا به عناصر Pb, Ti, Hg, Zn, Sr, Ba بیشترین خطا (حد خطای مجاز ۰.۲۰٪) وابسته است و با خطای کمتر یا مساوی ۰.۱۰٪ Cr, Ag و مقادیر خطا عناصر Au, Sn, Mo نیز مشابه هم هستند (شکل ۵).

**پردازش یافته‌ها و محاسبه ضرایب همبستگی عناصر**  
پس از تجزیه‌ی شیمیایی نمونه‌ها و برای شناسایی بی‌هنجری‌های و بررسی اعتبار آن‌ها، آن دسته از عناصری که تمرکزی بیشتر یا کمتری از حد تشخیص دستگاهی داشته‌اند (داده‌های سنسورده) با مقادیر عددی مطلوب و به روش نصف حد تشخیص [۱۷]، جایگزین شدن. عناصر حاوی داده‌های سنسورده، درصد آن‌ها و مقادیر جایگزین شده در جدول ۲ نشان داده شده‌است. داده‌پردازی تک متغیره و چند متغیره، با تعیین پارامترهای آماری جامعه‌ی نمونه برداری (داده‌های خام و لگاریتمی) از جمله میانگین، میانه، پراش (واریانس)، انحراف-معیار و ضریب تغییرات انجام شده است (جدول ۳). در گستره‌ی پی‌جوبی تاریکدره، ضریب تغییرات (حاصل تقسیم انحراف معیار به میانگین) عناصر سرب، طلا، جیوه، تنگستن، آرسنیک، بیسموت، مس و نقره بیش از عناصر دیگر بوده و از این میان، عناصر طلا، آرسنیک و مس با توجه به داده‌های خام از اولویت بیشتری پرخوردارند.

### زمین‌شیمی خاک

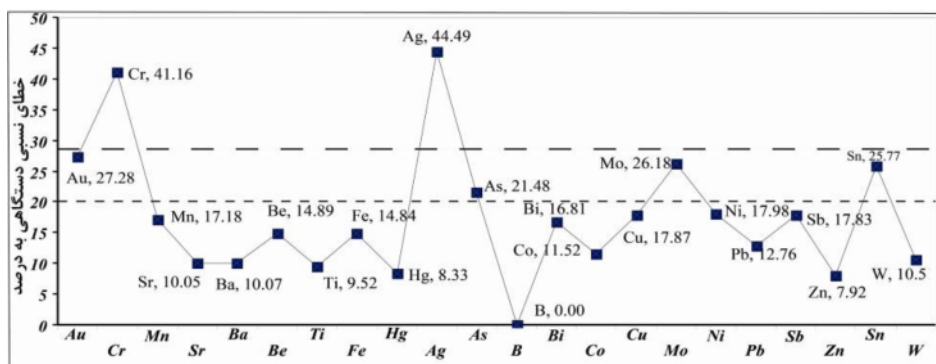
به منظور ارزیابی و شناسایی هاله‌های پراکنده‌ی دومین عناصر و شناسایی بی‌هنجری‌های وابسته به کانی‌سازی [۱۵، ۲۴۶]، تعداد نمونه خاک برجا (شکل ۳) در شبکه‌های منظم ۱۷۵ متر در ۷۵ متر و در منطقه‌ای به وسعت حدود ۴ کیلومتر مربع و پس از انتخاب بهینه‌ترین اندازه (۸۰ مش) از افق B خاک [۱۶] برداشت شدند، نمونه‌ها پیش از ارسال به استرالیا (آزمایشگاه Amdel)، مرحله‌ی آماده‌سازی (آسیاب تا اندازه ۲۰۰ مش) را در ایران پشت سر گذارده‌اند. آنالیز ژئوشیمیایی خاک برای عنصر مختلف صورت گرفت که عنصر طلا با روش عیارسنجی As, Cr, Mn, Mo, Ni, Pb, Sr, Zn, Ba, Be, Hg, Ag, B, Bi, Co, Cu, IC3E و عناصر Ti, Fe به روش IC3M آنالیز شدند، این روش‌ها در مجموعه‌ی ICP-MS و ICP-OES قرار دارند. حد تشخیص، حساسیت دستگاهی و نوع آنالیز عناصر در جدول ۱ آورده شده‌اند.

محاسبات دقت آنالیزها و کنترل خطای نسبی دستگاهی نیز و بر اساس نمونه‌های تکراری (درصد کل نمونه‌ها) و از رابطه‌ی  $R.A.E = 2/n \sum |X_1 - X_2| / (X_1 + X_2) \times 100$  ارزیابی شدند [۱۷]. در این فرمول (RAE) خطای نسبی دستگاهی، n تعداد نمونه‌ها و  $X_1$  و  $X_2$  مقادیر نمونه‌های اصلی و تکراری را نشان

جدول ۱ روش و حد حساسیت آنالیزها (ICP) برای عناصر مختلف

| عنصر           | روش  | حد تشخیص* |
|----------------|------|-----------|
| Au             | FA3  | ۱         |
| As             | IC3E | ۰.۵       |
| Cr, Mn, Ni     | IC3E | ۲         |
| Mo, Sr         | IC3E | ۰.۱       |
| Pb, Zn, Ba, Be | IC3E | ۰.۲       |
| Ti             | IC3E | ۱۰        |
| Fe             | IC3E | ۱۰۰       |
| Hg, B          | IC3M | ۰.۰۵      |
| Ag             | IC3M | ۰.۰۱      |
| Bi, Sb, W      | IC3M | ۰.۱       |
| Co, Cu, Sn     | IC3M | ۰.۲       |

\* برای Au بر حسب ppm و دیگر عناصر بر حسب ppb است.



شکل ۵ نمودار خطی، مقدار خطای نسبی آنالیز نمونه‌های خاک را برای تعدادی از عناصر نشان می‌دهد.

جدول ۲ داده‌های سنسورد (Censored) و مقادیر متناظر و جایگزین شده در نمونه‌های رسوب رودخانه‌ای و خاک.

| محیط نمونه برداری  | پارامتر                | Au* | Hg    | Ag    | B    |
|--------------------|------------------------|-----|-------|-------|------|
| خاک                | تعداد نمونه‌های سنسورد | ۱۴  | ۲۲۷   | ۲۶    | ۲۴۶  |
|                    | درصد داده‌های سنسورد   | ۵۶۹ | ۹۲۲۸  | ۱۰۵۶  | ۱۰۰  |
| رسوب رودخانه‌ای    | تعداد نمونه‌های سنسورد | ۳   | ۳۰    | ۲۷    | ۳۲   |
|                    | درصد داده‌های سنسورد   | ۹۳۸ | ۹۳۷۵  | ۸۴۳۸  | ۱۰۰  |
| حد تشخیص دستگاه    |                        | ۱   | ۰.۰۵  | ۰.۰۱  | ۰.۵  |
| مقادیر جایگزین شده |                        | ۰.۵ | ۰.۰۲۵ | ۰.۰۰۵ | ۰.۲۵ |

\* مقادیر Au بر حسب ppb و دیگر عناصر بر حسب ppm است.

جدول ۳ پارامترهای آماری عناصر انتخابی ۲۴۶ نمونه خاک در گسترده‌ی تاریک دره (داده‌های خام).

| عنصر* | میانگین | میانه | انحراف معیار | کوئینه | بیشینه | پرش**     | چولگی | ضریب تغییرات ***% |
|-------|---------|-------|--------------|--------|--------|-----------|-------|-------------------|
| Au    | ۱۲      | ۳     | ۲۹           | ۰.۵    | ۲۲۰    | ۸۲۸       | ۵     | ۲۳۲               |
| As    | ۸۵      | ۳۹    | ۱۳۵          | ۱۰     | ۱۱۶۰   | ۱۸۲۴۸     | ۴۶    | ۱۵۸               |
| Cu    | ۸۷      | ۵۳    | ۱۱۵          | ۱۳.۵   | ۹۶۲    | ۱۳۳۱۰     | ۵.۵   | ۱۲۳               |
| Mo    | ۱       | ۱     | ۰.۷          | ۰.۲    | ۸۶     | ۰.۴۹      | ۰.۱۵  | ۵۲                |
| Bi    | ۱       | ۰.۶   | ۲            | ۰.۱    | ۱۵۷    | ۲         | ۵     | ۱۴۶               |
| Sb    | ۲       | ۲     | ۰.۶          | ۰.۵    | ۴.۴    | ۰.۳۶      | ۱.۲۵  | ۳۴                |
| Pb    | ۲۲      | ۲۴    | ۸۴           | ۷.۳    | ۱۳۱۰   | ۶۹۷۳      | ۱۴.۸  | ۲۶۰               |
| Sn    | ۳       | ۲.۹   | ۰.۶۹         | ۱.۴    | ۷.۳    | ۰.۴۷      | ۱.۷۹  | ۲۳                |
| Zn    | ۱۱۴     | ۹۹    | ۸۷           | ۳۷.۲   | ۳۱۲۱۰  | ۷۶۲۷      | ۹     | ۷۷                |
| Co    | ۲۹      | ۲۶    | ۱۳           | ۹      | ۹۴     | ۱۷۲       | ۲.۱۷  | ۴۵                |
| Cr    | ۷۵      | ۷۵.۵  | ۲۶           | ۱۲     | ۱۸۶    | ۶۷۰       | ۰.۹   | ۳۴                |
| W     | ۵       | ۴     | ۹            | ۱.۴    | ۱۳۴    | ۷۴        | ۱۴    | ۱۶۴               |
| Ag    | ۰.۱     | ۰.۱   | ۰.۱          | ۰      | ۰.۶    | ۰         | ۴.۵   | ۱۰۰               |
| Mn    | ۱۱۲۷    | ۱۰۴۵  | ۴۱۹          | ۳۷۶    | ۲۶۹۰   | ۱۷۵۲۱۰    | ۱     | ۳۷                |
| Ti    | ۴۶۵۷    | ۴۴۴۵  | ۱۳۵۰         | ۱۹۳۰   | ۱۵۳۰۰  | ۱۸۲۱۶۲۷   | ۳     | ۲۹                |
| Fe    | ۵۲۳۸۳   | ۵۲۰۰۰ | ۱۲۸۹۹        | ۶۲۷۰   | ۹۸۳۰۰  | ۱۶۶۳۸۰۴۶۶ | ۰.۵   | ۲۴                |
| Ba    | ۴۸۰     | ۴۸۹   | ۹۹           | ۲۳۶    | ۱۱۱۰   | ۹۸۹۳      | ۱.۱   | ۲۱                |
| Sr    | ۲۰۷     | ۱۵۹   | ۱۶۵          | ۷۰     | ۱۴۹۰   | ۲۷۱۹۳.۶   | ۴.۱   | ۸۰                |

\* مقادیر Au بر حسب ppb و دیگر عناصر بر حسب ppm است.

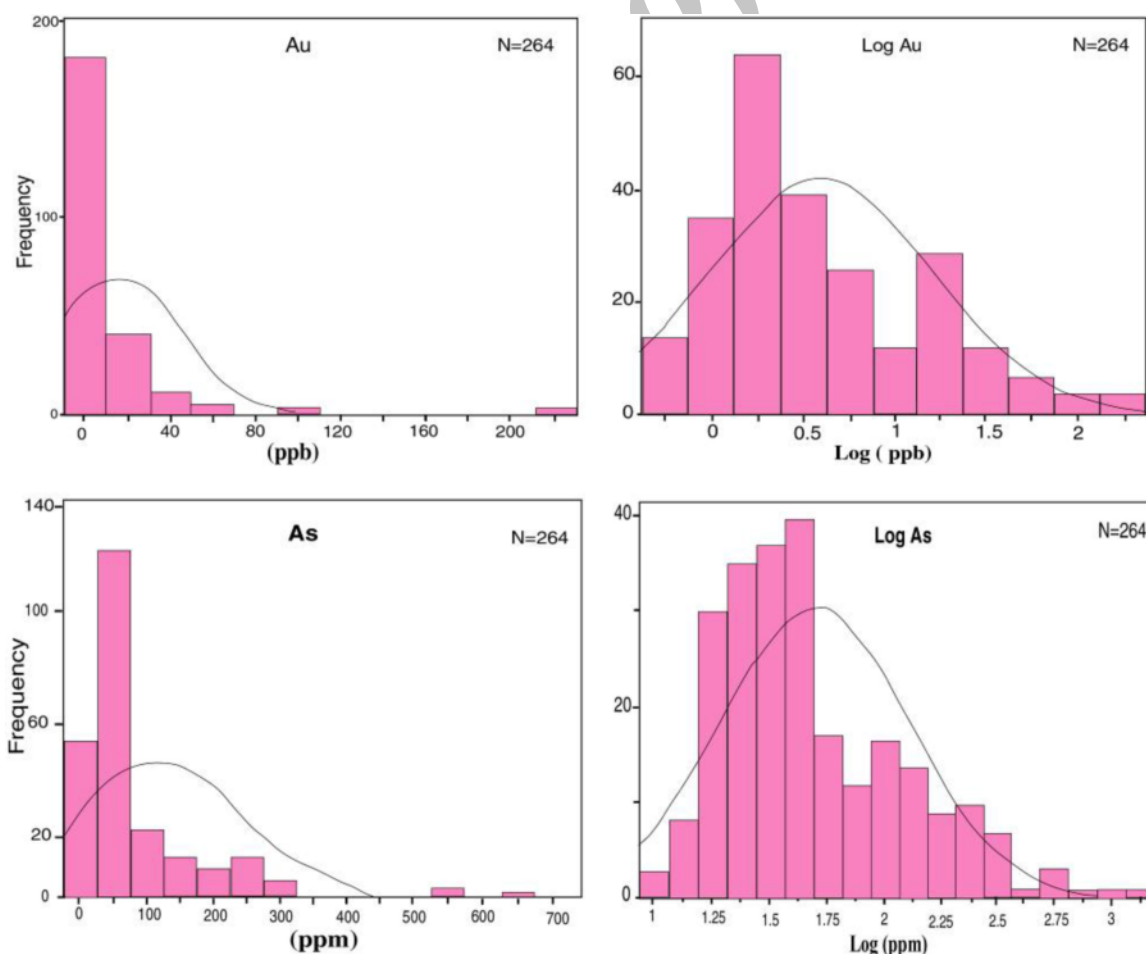
\*\* Variance

\*\*\* Coeffiction of Variation

طرق مختلف امکانپذیر است. انتخاب روش بهینه‌ی محاسباتی که واپسگی زیادی به نوع تابع توزیع نداشته باشد، بسیار اهمیت دارد. در این پژوهش دامنه‌ی همیافتد عناصر بر مبنای محاسبه‌ی ضریب همبستگی Spearman (که واپسگی محاسبات به نوع تابع توزیع کم است) صورت گرفته است. در محاسبه حد اعتبار، بهنجار کردن داده‌ها صورت نگرفته است و مبنای تعداد نمونه‌ی مورد سنجش بوده وحد اعتبارنیز محدود به مقداری ثابت و تعريف شده ( $\pm 0.5$ ) نبوده است [۱۷]. نتایج بهدست آمده از همبستگی‌های مثبت و قابل توجهی طلا در نمونه‌های خاک با عناصر As, Cu, Bi, Fe و Co نشان دارد. چگونگی همبستگی این عناصر در آنالیز ژئوشیمی رسوب‌های آبراهه‌ای در سطوح اعتماد مختلف، نیز ارزیابی شده است که بیشترین همبستگی مثبت میان زوج عناصر Cu-, Au-Cu, W-Cu, Pb-Zn, As است (جدول ۴).

نمایش نموداری داده‌های خام و لگاریتمی نمونه‌های ژئوشیمیابی خاک بر مبنای رده‌های از پیش تعريف شده (نمودارهای ستونی)، نوع تابع توزیع، وجود یا عدم چولگی و میزان تقریبی آن تعیین می‌نماید. آنچه که از بررسی نمودارهای ستونی جوامع خام و لگاریتمی نمونه‌های ژئوشیمیابی خاک به دست آمدند، حاکی از این است که درصد نسبتاً بالایی از داده‌های عناصر جیوه، بور و نقره سنسورد است و تابع توزیع جوامع داده‌های خام عناصر Cu, Mo, Pb, Sn, Co, Ti, Hg, Au, Sr, Zn, W, Ba, As چولگی مثبت داشته، پس از تبدیل، به جامعه لگاریتمی، تا حدودی به تابع بهنجار نزدیک شده‌اند (شکل ۶). همچنین جوامع عناصر Be و Fe در حالت خام به حالت بهنجار نزدیک‌ترند، از این رو انتظار مقادیر نابهنجار از آن‌ها ضعیف است.

محاسبه‌ی ضریب همبستگی عناصر و بررسی اعتبار آن‌ها به



شکل ۶ نمودار ستونی داده‌های خام و لگاریتمی عناصر انتخابی Au, As در نمونه‌های خاک تاریک‌دره.

جدول ۴ شدت همبستگی (اسپیرمن) بین عناصر مختلف در بررسی‌های ژئوشیمی رسواب‌های رودخانه‌ای (St.s) و نمونه‌های خاک (Soil) را نشان می‌دهد، همبستگی‌های خیلی شدید، می‌تواند ناشی از وجود قربات‌های کانی‌سازی باشد.

| عنصر | محیط | میزان همبستگی عناصر        |                             |   |
|------|------|----------------------------|-----------------------------|---|
|      |      | خیلی قوی (۰,۷۱-۱,۰)        | قوی (۰,۵۱-۰,۷)              | متوسط (۰,۱-۰,۵)   |
| Au   | Soil | As, Cu                     | Fe, Bi, Co                  | Mn, Sr, Ti, Hg, Ag, Sb, W                                 |
|      | St.s | As, Bi, Cu, Co             | Ti, Fe, W                   | Sr, Sb, Zn, Sn  |
| As   | Soil | Au, Bi, Cu                 | Mn, Ti, Fe, Co, W           | Sr, Ba, Hg, Mo, Sb, Zn, Sn                                |
|      | St.s | Au, Bi, Cu                 | Sr, Ti, Fe, Co              | Sb, Zn, Sn, W   |
| Cu   | Soil | Au, Fe, As, Bi, Co         | W                           | Mn, Ba, Ti, Hg, Mo, Sr, Sb, Zn, Sn                        |
|      | St.s | Au, Ti, Fe, As, Bi, Co     | Sr, W                       | Mo, Sb, Zn, Sn  |
| Bi   | Soil | Cu, As                     | Au, Fe, Co, Sb, W           | Mn, Be, Ti, Ag, Mo, Ni, Pb, Zn, Sn                        |
|      | St.s | Au, , Ti, Fe, As, Co, Cu   | Sr, W                       | Mo, Zn, Sn  |
| Mo   | Soil | -                          | Sb                          | Cr, Ba, Be, Ti, Fe, Hg, As, Bi, Co, Cu, Ni, Pb, Zn, Sn, W |
|      | St.s | -                          | -                           | Co, Ti, Fe, Bi, Cu, Ni, Pb, Zn, Sb, W                     |
| Pb   | Soil | Zn                         | Be, Ni, Sb                  | Cr, Ba, Ag, Bi, Co, Mo, Sn, W                             |
|      | St.s | Sb                         | Zn, Ni                      | Co, Mo, Sn  |
| Zn   | Soil | Pb                         | Ni, Sb                      | Cr, Mn, Ba, Be, Ti, Fe, Hg, As, Bi, Co, Cu, Mo, Sn, W     |
|      | St.s | Co, Sb                     | Ni, Pb                      | Au, Co, Ti, Fe, As, Bi, Cu, Mo, Sn, W                     |
| W    | Soil | -                          | Fe, As, Bi, Cu, Sn          | Au, Mn, Ba, Be, Ti, Hg, Mo, Co, Pb, Sb, Zn                |
|      | St.s |                            | Au, Ti, Fe, Bi, Co, Cu      | Sr, As, Mo, Zn, Sn  |
| Sn   | Soil | -                          | Sb, W                       | Cr, Ba, Be, Fe, Hg, As, Bi, Co, Cu, Mo, Ni, Pb, Zn        |
|      | St.s | -                          | -                           | Au, Ti, Fe, As, Bi, Co, Cu, Ni, Pb, Zn, Sb, W             |
| Sb   | Soil | -                          | Bi, Co, Mo, Pb, Zn, Sn      | Au, Cr, Mn, Ba, Be, Ti, Fe, Hg, Ag, As, Cu, Ni, W         |
|      | St.s | Zn, Pb                     |                             | Au, Cr, As, Co, Cu, Ni, Mo, Sn                            |
| Co   | Soil | Cu                         | Au, Mn, Ti, Fe, As, Bi, Sb, | Ba, Hg, Mo, Ni, Pb, Zn, Sn, W                             |
|      | St.s | Au, Co, Ti, Fe, Bi, Cu, Zn | As, W                       | Sr, Mo, Ni, Sb, Sn  |
| Fe   | Soil | Cu                         | Au, Mn, Ti, As, Bi, Co, W   | Sr, Ba, Mo, Sb, Zn, Sn                                    |
|      | St.s | Ti, Bi, Co, Cu             | Au, Sr, As, W               | Mo, Zn, Sn  |

(در این پروژه ۲۵ نمونه) مشخص شده است. سپس هر کدام از عناصر یکباره به عنوان عنصر مبتدا، قرار گرفته و داده‌های آن مرتب می‌شوند. چنانچه همراهی عناصر دیگر در نیمی از نمونه‌ها (حدود ۱۲ نمونه) با این عنصر مبتدا، محقق شود، می‌توان آن‌ها را به عنوان همبسته در مقادیر پر عیار معرفی کرد. با توجه به مطالب بالا و بررسی عناصر در محیط خاک، مجموعه زیر به عنوان بهترین سرشتی به دست آمده معرفی می‌شود :

1-Au, As(12, M), Bi(12, M), Co(15, M), Cu(15,M) نماد قرار گرفتن مقدار حداکثر آن عنصر و عدد واقع در برانتر تعداد نمونه‌های ۱۰٪ بالای آن عنصر را نشان می‌دهد. در رده بندی بالا، عنصر اول مجموعه، به عنوان عنصر مبتدا در نظر گرفته شده است. ترسیم داده‌های این مجموعه بر اساس جمع

سرشته‌های ژئوشیمیایی و معرفی معیار جمعی سری از راههای بررسی مقادیر ناهنجار و امکان همسویی آن‌ها با یکدیگر، استفاده از سرشته‌های ژئوشیمیایی<sup>۱</sup> است. در مورد ضرایب همبستگی، بدیهی است، که تمامی داده‌ها مورد بررسی قرار می‌گیرند و ممکن است، این ضرایب بیانگر واقعیت همبستگی یا عدم همبستگی عناصر نباشند. اما در محاسبه مشخصه‌های ژئوشیمیایی همراهی و همسویی عناصر تنها در ۱۰٪ بالای جامعه آن‌ها بررسی می‌شود و این معیار با توجه به گستره‌ی توزیع، می‌تواند از اعتبار بیشتری برخوردار باشد [۱۷]. بنابراین داده‌ها برای تمامی عناصر مرتب<sup>۲</sup> و ۱۰٪ بالای آن‌ها

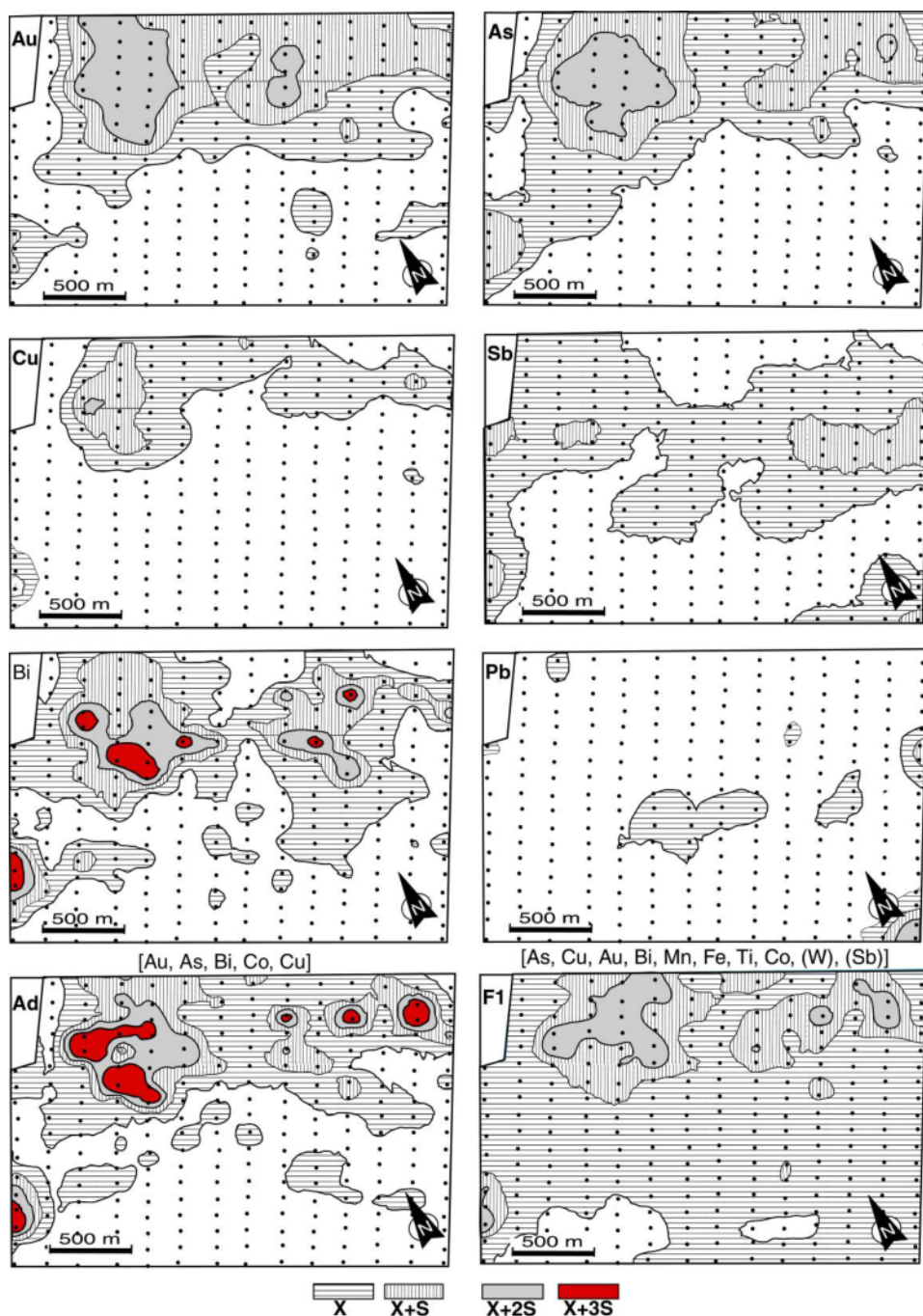
1 - Geochemical Signature  
2 - Sort

معیار آن جامعه است. با محاسبه‌ی این فرمول نتایج به صورت جامعه‌ای با میانگین صفر و انحراف معیار واحد بدست خواهد آمد که تمامی آن‌ها هم وزن بوده و قابل جمع کردن با یکدیگرند. بر مبنای مقادیر بدست آمده نقشه‌های توزیع عناصر در خاک‌های گستره‌ی پی‌جوبی ترسیم شده‌اند (شکل ۷).

مقادیر Z-Score آنهاست و از جمع این مقادیر که به عنوان معیار جمعی نامگذاری شده، و یافته‌هایی بدست می‌آید که به صورت نقشه نمایش داده می‌شود. لازم به یادآوری است که نوعی استانداردسازی داده‌هاست که بر اساس فرمول زیر محاسبه می‌شود [۱۷].

$$Z\text{-Score} = (X\text{-Mean}) / SD$$

در این فرمول  $X$  عیار هر نمونه، Mean میانگین و SD انحراف



شکل ۷ هاله‌های پراکندگی دومین عنصر طلا و دیگر عناصر وابسته و ردیاب، در خاک‌های برجای گستره‌ی پی‌جوبی تاریک‌دره.

نتایج آن‌ها به روش کریجینگ<sup>۶</sup> استفاده شده است [۱۷].

در مرحله‌ی برآش، چند عامل به عنوان متغیرهای محاسبه‌ی تغییر نگار مورد استفاده قرار گرفته‌اند (جدول ۵). راستا، که تغییرنگار نخست آن را به صورت غیرجهتی در نظر گرفته و در صورت عدم تطابق با مدل بهینه در راستای ۴۵ و ۹۰ درجه ترسیم شدند. تلورانس<sup>۷</sup>، با زوایای ۱۵، ۲۰ و ۳۰ درجه، در محاسبات مورد استفاده قرار گرفته است. پهنای گام<sup>۸</sup>، در گام‌های ۱۲۰، ۱۵۰، ۱۶۰، ۱۷۰، ۱۷۵ و ۱۸۰ متر در تغییرنگارها استفاده شد. تعداد گام‌ها<sup>۹</sup>، مقادیر مورد استفاده در این مرحله ۱۵، ۲۵ و ۳۰ گام بوده است. اثر قطعه‌ای<sup>۱۰</sup>، به صورت نظری صفر در نظر گرفته شد و محاسبه اثر قطعه‌ای C<sub>1/C</sub> نسبی پس از برآش منحنی مدل با استفاده از فرمول C<sub>1</sub> + C<sub>0</sub> محسوبه شد که، در آن، C<sub>0</sub> مقدار سقف، C<sub>1</sub> اثر قطعه‌ای و C<sub>1</sub> + C<sub>0</sub> مقدار سقف کل (C) است. که این نسبت در واقع مovid این است که چند درصد از تغییرات به وسیله‌ی تغییر نگار پوشش داده شده است. بالا بودن این عدد نشانه‌ی عدم برآش بهینه بوده است. شعاع تاثیر<sup>۱۱</sup> نمونه‌ها نیز فاصله‌ی بهینه تأثیر دو نمونه مجاور است که در ورای این فاصله نمونه‌ها فاقد تاثیر یا دارای اثربیان کمی بر یکدیگر خواهند بود. با محاسبه مقادیر میانه (X)، انحراف معیار (S)، بی‌هنجاری در بازه‌های Med + 2S<sup>۱۲</sup> و مقادیر Med + 3S<sup>۱۳</sup> به عنوان بی‌هنجاری های ممکن و مقادیر بالاتر از Med + 3S به عنوان بی‌هنجاری های احتمالی تعیین شده‌اند (جدول ۶) و بر این اساس جداسازی آنمالی صورت گرفت. نقشه بی‌هنجاری های عناصر با اعمال مقادیر تخمینی<sup>۱۴</sup> حاصل از داده‌های لگاریتمی دریازه‌های تعريف شده، به دست آمده، در این قالب نقشه‌های هم مرتبه پراکنده‌ی عناصر طلا و مرتبط و ردیاب از جمله As, Cu, Bi, Sb, Pb در خاک‌های گستره‌ی تاریکدره رسم شده است (شکل ۷).

6- Krigging

7- Telorance

8- Lag width

9- Number of Lag

10- Nugget Effect

11- Range

12- Cross Validation

### تحلیل عاملی یافته‌های زمین‌شیمی

مرحله بررسی آمار چند متغیره و ارزیابی همبستگی‌های ۲۲ عنصر که از نتایج ۲۴۶ نمونه خاک به دست آمده‌اند، در قالب محاسبات تحلیل عاملی<sup>۱۵</sup> صورت گرفته است [۱۷]. نخست عنصر بور (مقادیر سنسورد) از جریان داده پردازی حذف و نمونه‌های خارج از ردیف<sup>۱۶</sup> نیز براساس حد بین چارکی و به استناد فرمول (75<sup>th</sup> - 25<sup>th</sup>) = 1.5 ~ 3 Outlier محسوب شده‌اند. مقادیر فرین<sup>۱۷</sup> شناسایی و با مقادیر متناسب جایگزین نمونه‌های فرین<sup>۱۸</sup> شناسایی و Be با مقادیر خام و عناصر باقیمانده بصورت لگاریتمی وارد محیط نرم افزار SPSS شدند و تعداد ۵ عامل در جریان این مرحله از محاسبات به شرح زیر حاصل شده اند:

عامل اول: عناصر As, Cu, Au, Bi, Mn, Ti, Co, Fe, (W, Sb)

عامل دوم: عناصر Pb, Sb, Be, Mo, Cr, Sr, Ni, Sb, (Zn)

عامل سوم: عناصر Hg, W, (Sn)

عامل چهارم: عناصر Ba, Zn, (Pb)

عامل پنجم: عنصر Ag, (Ti, Mo)

بیشترین تاثیر در عامل اول (F1) به عناصر آرسنیک، مس و کمترین تاثیر به تیتان مربوطند. این عامل به عنوان فاکتور کانی‌سازی طلا محسوب شده است و دو عنصر W, Sb به ترتیب به ارزش این فاکتور افزوده و همراهی این مجموعه با یکدیگر وجود کانی‌سازی طلا را در منطقه تقویت می‌کند. عامل چهارم با عناصر Ba, Zn, (Pb) می‌توانند معرف پارامترهای بی‌هنجاری و یا پارامترهای کانی‌سازی سرب و روی (رگه‌های گالن‌دار) با گانگ باریت باشد.

### شناسایی هاله‌های پراکنده‌ی دومین عناصر

از مهم‌ترین هدف‌های این پژوهش شناسایی هاله‌های پراکنده‌ی عناصر و الگوی توزیع و تمرکز عناصر به منظور معرفی نقاط امیدبخش و یا به عبارتی بی‌هنجاری است [۱۸]. روش‌های مختلفی برای جدایش بی‌هنجاری و تعیین مقادیر شاخص‌های پراکنده‌ی به کار برده می‌شود، در این پژوهش از برآش واریوگرام (تغییرنگار) داده‌های لگاریتمی و استفاده از

3- Factor Analysis

4- Outlier

5- Extreme

جدول ۵ مشخصه‌های اصلی تغییرنگارهای عناصر انتخابی.

| عنصر | جهت <sup>۱</sup> | تلورانس <sup>۲</sup> | طول گامه <sup>۳</sup> | تعداد گامه <sup>۴</sup> (متر) | اثر قطعه‌ای <sup>۵</sup> | مقدار سقف کل | مقدار سقف کل | اثر قطعه‌ای نسبی | شعاع تاثیر نمونه‌ها <sup>۶</sup> (متر) |
|------|------------------|----------------------|-----------------------|-------------------------------|--------------------------|--------------|--------------|------------------|--|
| Au   | +                | ۳۰                   | ۱۷۵                   | ۳۰                            | ۰,۰۳                     | ۰,۰۳         | ۰,۰۶         | ۰,۵              | ۳۰۰                                    |
| As   | +                | ۹۰                   | ۱۵۰                   | ۳۰                            | ۰,۰۳                     | ۰,۰۷         | ۰,۱          | ۰,۳۳             | ۳۹۵                                    |
| Cu   | ۴۵               | ۳۰                   | ۱۵۰                   | ۳۰                            | ۰,۰۲۲۵                   | ۰,۰۲۸        | ۰,۰۵۰۵       | ۰,۴۴             | ۳۰۰                                    |
| Sb   | +                | ۹۰                   | ۱۲۰                   | ۱۵                            | ۰,۰۰۶                    | ۰,۰۱۲        | ۰,۰۱۸        | ۰,۳۳             | ۴۰۰                                    |
| Pb   | +                | ۹۰                   | ۱۱۲                   | ۱۵                            | ۰,۰۱۵                    | ۰,۰۲۱        | ۰,۰۳۶        | ۰,۴۱             | ۲۷۵                                    |
| Bi   | -                | -                    | -                     | -                             | -                        | -            | -            | -                | ۵۵۰                                    |
| Ag   | +                | ۹۰                   | ۱۶۰                   | ۲۴                            | ۰,۰۶۹                    | ۰,۰۷۷        | ۰,۱۵۷        | ۰,۴۴             | ۳۷۵                                    |
| Mo   | ۹۰               | ۱۵                   | ۱۸۰                   | ۱۵                            | ۰,۰۰۵۹                   | ۰,۰۱۸۳       | ۰,۰۲۴۲       | ۰,۲۴             | ۳۵۰                                    |
| Ad*  | ۹۰               | ۳۰                   | -                     | -                             | -                        | -            | -            | -                | ۳۵۰                                    |

<sup>۱</sup>Direction, <sup>۲</sup>Telorance, <sup>۳</sup>Lag width, <sup>۴</sup>Number of Lag, <sup>۵</sup>Nugget Effect, <sup>۶</sup>Range

\*معیار جمعی

جدول ۶ پارامترهای توزیع داده‌های خام و مقادیر لگاریتمی آنها، حد آستانه و بی‌هنجری‌های ممکن برای عناصر مختلف در نمونه‌ها خاک منطقه-تاریک دره محاسبه شده است

| پارامترهای توزیع (خام)      | *Au   | As    | Cu    | Pb    | Bi     | Sb   | Ag    | W    |
|-----------------------------|-------|-------|-------|-------|--------|------|-------|------|
| میانگین                     | ۱۲,۴۲ | ۸۵,۲۶ | ۸۶,۶۹ | ۳۲,۷  | ۱,۰۶   | ۱,۷۷ | ۰,۰۶  | ۵,۲۴ |
| (X) میانه                   | ۳     | ۳۹,۴۵ | ۵۳,۴۵ | ۲۳,۶  | ۰,۶    | ۱,۷  | ۰,۰۵  | ۴,۱  |
| بیشینه                      | ۲۲۰   | ۱۱۶۰  | ۹۶۲   | ۱۳۱۰  | ۱۵,۷   | ۴,۴  | ۰,۶۴  | ۱۳۴  |
| پارامترهای توزیع (لگاریتمی) |       |       |       |       |        |      |       |      |
| میانگین                     | ۰,۶۱  | ۱,۶۴  | ۱,۸   | ۱,۳۹  | -۰,۱۴  | ۰,۲۲ | -۱,۳۸ | ۰,۶۴ |
| انحراف معیار                | ۰,۵۸  | ۰,۴   | ۰,۲۹  | ۰,۲۲  | ۰,۳۳   | ۰,۱۴ | ۰,۴۲  | ۰,۲۱ |
| ضریب تغییرات                | ۹۵,۶۴ | ۲۳,۸  | ۱۵,۹۲ | ۱۵,۹۶ | -۲۲۹,۹ | ۶۴   | -۳۰,۵ | ۳۳,۳ |
| میانه                       | ۰,۴۸  | ۱,۶   | ۱,۷۳  | ۱,۳۷  | -۰,۲۲  | ۰,۲۳ | -۱,۳  | ۰,۶۱ |
| آستانه بی‌هنجری             | ۱,۰۶  | ۲     | ۲,۰۲  | ۱,۵۹  | ۰,۱۱   | ۰,۳۷ | -۰,۸۸ | ۰,۸۲ |
| بی‌هنجری ممکن               | ۱,۶۴  | ۲,۴   | ۲,۳۱  | ۱,۸۱  | ۰,۴۴   | ۰,۵۱ | -۰,۴۶ | ۱,۰۳ |

\*مقادیر Au بر حسب ppb و دیگر عناصر بر حسب ppm.

حالهای دومین پراکندگی ژئوشیمیایی از عناصر ارزشمند، ردیاب و وابسته به کانی‌سازی طلا شد. عیار طلا در نمونه‌های خاک منطقه‌ی مورد نظر از کمینه به بیشینه‌ی ۱ تا ۲۲۰ میلی گرم در تن در نوسان است. میانگین و میانه آن به ترتیب ۱۲,۴۲ و ۳ میلی گرم در تن برآورد شدند و خطای آنالیز آن در حد قابل قبولی است (شکل ۵). این عنصر با عناصر Sb, Ag, Cu و Bi همبستگی نشان می‌دهد. بهترین تغییر نگار طلا به صورت غیرجهتی و با شعاع تاثیر ۳۰۰ متر با استفاده از داده-

برداشت کاوش و بررسی‌های کانی‌های سنگین در هدف پی جویی تاریکدره، باعث شناسایی کانی‌های طلا، کالکوبیریت، گوتیت، هماتیت، گالن، پیریت، پیریت اکسید، آرسنوبیریت، هماتیت، جاروسیت، لیمونیت، مالاکیت، فلوگوپیت، شلیت، اسپیکولاریت، اسمیتزوونیت، گارنت و باریت شد. متعاقباً بررسی‌های ژئوشیمیایی پراکندگی عناصر و در نهایت ارزیابی‌های زمین‌شیمی نمونه‌های برجای خاک، منجر به شناسایی

حدود ۴۳/۸ کیلومتر مربع و متاثر از ۱۲ نمونه، شمال خاوری (متاثر از ۶ نمونه بی‌هنگار) و جنوب باختری (پهنه‌ای این بی‌هنگاری بالغ بر ۳ هکتار و متاثر از ۳ نمونه) مشخص شده است. بیشترین مقدار بیسیمومت در نمونه‌های رسوب آبراهه‌ای به مقدار ۸۴/۲ و ۵/۹ گرم در تن است. در واقع برازش جالبی بین نمونه‌های خاک، رسوب آبراهه‌ای در این گستره وجود دارد. این بی‌هنگاری با عناصر طلا، آرسنیک، مس، Ad و F1 نیز همپوشی دارد. بی‌هنگاری‌های عنصر تنگستن به صورت سه گستره در بخش‌های شمالی و شمال باختری منطقه مشخص شده است. بی‌هنگاری مهم تنگستن در بخش شمال باختری با بی‌هنگاری‌های طلا، آرسنیک و نقشه‌ی معیار جمعی همپوشی دارد.

بی‌هنگاری‌های متشكل از عناصر As, Cu, Au, Bi, Mn, Ti, Co, Fe, (W, Sb) و معرف تحلیل عاملی اول، در واقع بیشترین همپوشی را با عناصر آرسنیک، طلا و نقشه Ad نشان می‌دهد. بی‌هنگاری شمال باختری با مساحت تقریبی ۴/۲ هکتار مهم‌ترین بی‌هنگاری فاکتور اول بوده که متاثر از ۱۱ نمونه است. این بی‌هنگاری با عناصر Au, As و بصورت جزیی با همپوشی دارد. بزرگترین بی‌هنگاری‌های معیار جمعی، متشكل از عناصر Au, As, Bi, Co, Cu در شمال باختری این گستره بوده و همپوشی عناصر آرسنیک، بیسیمومت و تا حدودی طلا، مس و نقشه‌ی تحلیل عاملی با آن، اهمیت این منطقه را افزایش می‌دهد. بی‌هنگاری‌های طلا با عناصر آرسنیک و تا حدودی مس در این گستره که بر توده نفوذی با ترکیب کوارتز‌دیوریت-دیوریت همپوشانی دارد، اهمیت این بی‌هنگاری را در ارتباط با کانی‌سازی طلا، وابسته به توده‌های نفوذی را افزون‌تر می‌کند.

#### قدرتانی

نویسنده‌ان از حمایت‌های مالی و مساعدت‌های معاونت محترم اکتشاف و طرح‌های عمرانی سازمان صنایع و معادن خراسان رضوی و معاونت تحصیلات تکمیلی دانشگاه فردوسی مشهد برخوردار بوده اند.

#### مراجع

- [1] Williams G. j., - "Note on the mineralization in Cheshmehgool area, khorasan", Geo, Sur of Iran, (1965) 3 p.

های لگاریتمی محاسبه شدند. بی‌هنگاری‌های مهم عنصر طلا در سه بخش باختری، مرکزی و شمال خاوری گستره‌ی مورد نظر متمرکز شده‌اند (شکل ۷). مقدار عنصر طلا در ۳ نمونه رسوب آبراهه‌ای که سرشاخه‌های آن‌ها به بی‌هنگاری بخش باختری (بالغ بر ۲۳/۴ هکتار) منتهی می‌شود به ترتیب عیاری برابر ۱۵۵ ppb، ۲۸۹ و ۴۸ را نشان داده‌اند و هاله‌ی دومین پراکنده‌گی این عنصر متاثر از ۱۷ نمونه خاک بوده است (عيار طلا در آنها از ۲۲-۲۱۸ ppb). این بی‌هنگاری از دیدگاه زمین‌شناسی بیشتر در واحد دیوریتی قرار گرفته است. این گستره با بی‌هنگاری‌های عناصر آرسنیک، مس، بیسیمومت و نقشه‌های معیار جمعی (Ad) و تحلیل عاملی (F1)، همپوشی دارد. این بی‌هنگاری به‌سمت شمال بسته نشده است و احتمال یافتن مقدار بی‌هنگار در بخش شمالی آن دور از انتظار نیست. در نقشه‌ی بی‌هنگاری‌های آرسنیک سه گستره در بخش‌های شمال باختری تا جنوب باختری با مقدار نزدیک به حد استانه بی‌هنگاری قابل مشاهده‌اند، بی‌هنگاری بخش شمال باختری (۲۵/۶ هکتار) منطقه‌ی متاثر از ۱۵ نمونه است، بروزدهای سنگی این منطقه بیشتر واحد دیوریتی است. تعداد چهار نمونه رسوب آبراهه‌ای برداشت شده از فرودست این بی‌هنگاری نیز مقدار قابل توجهی از آرسنیک را نشان داده‌اند (از ۲۲۷ تا ۵۳۱۰ گرم در تن). این منطقه با بی‌هنگاری عناصر طلا، مس، بیسیمومت، Ad و F1 همپوشی دارد. ناهنگاری ممکن عنصر مس، در بخش شمال باختری این گستره است. با توجه به همپوشی این منطقه با بی‌هنگاری‌های طلا و آرسنیک، اهمیت این گستره قابل ملاحظه است. با توجه به پایین بودن حد عیاری آنتیموان در نمونه‌ها، بی‌هنگاری سرب در بازه‌ی در این گستره شناسایی نشد، و تنها بی‌هنگاری سرب در بازه‌ی در این گستره شناسایی نشد، و تنها بی‌هنگاری سرب در بازه‌ی >Med + 2S، متاثر از یک نمونه با عیار ۱۳۱۰ ppm است. این نمونه به‌عنوان یک نمونه فوق العاده در مقدار سرب محسوب می‌شود و در ردیف بعدی نمونه‌های با عیار ۱۸۶ ppm سرب واقع شده است. سرب در نمونه‌های رسوب آبراهه‌ای نیز عیار قابل توجهی بروز نداده است (از ۱۳/۸ تا ۳۹/۲ گرم در تن).

بیسیمومت در نمونه‌های خاک، عیار قابل توجهی نداشت، ولی بخاره‌های نمونه‌های حاوی بیشترین مقدار Bi با نمونه‌های با عیار بالای طلا، جیوه، تنگستن، آرسنیک و مس، سه منطقه با بی‌هنگاری احتمالی در بخش‌های شمال باختری (در

- [۱۰] Rutner A., "The Triassic of Agh darband", Scientific Quarterly Journal Geosciences 27-28 (1991) 87-95.
- [۱۱] افشار حرب ع.، "زمین شناسی کپه داغ"، سازمان زمین شناسی و اکتشافات معدنی کشور، (۱۳۷۳) ص ۲۷۵.
- [۱۲] Solovov A.P., "Geochemical prospecting for mineral deposits", mir publishers Moscow (1987) 284.
- [۱۳] Mohammadzadeh M.J., 1994-"Geochemical dispersion in mineralized and unmineralized soils near Malanjkhand copper deposit, India", Scientific Quarterly Journal Geosciences 10 (1994) 72-79.
- [۱۴] شفیع نیا ح.، "مطالعات ژئوشیمی و زمین شناسی اقتصادی اندیس طلای تاریک دره، شمال تربت جام" ، پایان نامه کارشناسی ارشد، زمین شناسی اقتصادی، دانشگاه شهید بهشتی تهران، (۱۳۸۱) ص.
- [۱۵] پرند س، "روشهای اکتشافات ژئوشیمیابی ذخایر معدنی (ترجمه کتاب Beus and Grigorian, 1977)"، سازمان زمین شناسی و اکتشافات معدنی کشور، (۱۳۷۵) ص ۲۶۲.
- [۱۶] Rose A., Hawkes H., Webb J., "Geochemistry in Mineral Exploration", 2d ed., Academic press, (1979)
- [۱۷] حسنی پاک ع.ا.، شرف الدین م.، "تحلیل داده های اکتشافی" ، انتشارات دانشگاه تهران، (۱۳۸۰) ص ۹۸۷.
- [۱۸] حسنی پاک ع.ا.، "اصول اکتشافات ژئوشیمیابی" ، انتشارات دانشگاه تهران، (۱۳۷۰) ص ۶۰۱.
- [۱۹] بهروزی ا. و همکاران، "نقشه زمین شناسی چهار گوش تربت جام، مقیاس ۱:۲۵۰۰۰" ، سازمان زمین شناسی و اکتشافات معدنی کشور، (۱۹۹۳).
- [۲۰] اکرمی م. ع، "بررسی پترولوزی و ژئوشیمی توده گرانیتوئیدی تربت جام و هاله دگرگونی آن" ، پایان نامه کارشناسی ارشد پترولوزی، دانشگاه تهران، (۱۳۷۳) ص ۱۷۵.
- [۲۱] خاکزاد ا.، کریمپور م.ح، یزدی م.، شفیع نیا ح.، "مطالعه کانیهای سنگین و نحوه ارتباط آنها با کانی زایی طلا در منطقه تاریک دره (شمال تربت جام)" ، مجموعه مقالات دهمین همایش انجمن بلورشناسی و کانی شناسی، دانشگاه سیستان و بلوچستان، (۱۳۸۱) ص ۱۱۷-۱۱۶.
- [۲۲] سازمان زمین شناسی و اکتشافات معدنی کشور، "اکتشافات ژئوشیمیابی سیستماتیک در ورقه ۱:۱۰۰۰۰ تربت جام" ، (۱۳۸۱).
- [۲۳] علوی نائینی م.، با کمک موسوی، "نقشه زمین شناسی ۱:۱۰۰۰۰ تربت جام" ، انتشارات سازمان زمین شناسی و اکتشافات معدنی کشور (۱۳۸۵).
- [۲۴] مهندسین مشاور زرناک اکتشاف، "گزارش اکتشاف نیمه تفصیلی طلا و تنگستن تاریک دره (شمال تربت جام)" ، سازمان صنایع و معادن استان خراسان رضوی (۱۳۸۳) ص ۱۶۵.
- [۲۵] Boulin J., "Structures in Southwest Asia and evolution of the eastern Tethys", Tectonophysics 196, Issues 3-4, (1991) 211-268.
- [۲۶] آقانباتی ع.، "زمین شناسی ایران" ، سازمان زمین شناسی و اکتشافات معدنی کشور، (۱۳۸۳) ص ۶۰۶.